

Al-C-Hal.

V 6244

1958

Ti Cl<sub>4</sub>, Al<sub>2</sub>(CH<sub>3</sub>)<sub>4</sub>Cl<sub>2</sub>, Al<sub>2</sub>(CH<sub>3</sub>)<sub>2</sub>Cl<sub>4</sub>  
Ti CH<sub>3</sub>Cl<sub>3</sub> (Vi)

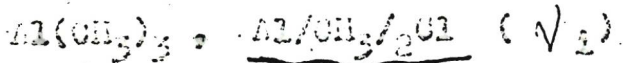
Greenewage M.P.

Z. phys. Chem. (BRD), 1958, 18,  
n 3-4, 147-162.

PKK, 1959, N 14, 48499. 8 cm<sup>2</sup> sur.  
10.

1960

V 4052



Ботманн В.Г.

Z. Elektrochem., 1960, 64, N 9, 616-  
631

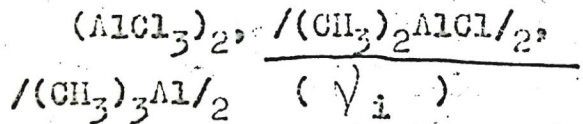
Спектроскопическое исследование алюминий  
органических соединений. IV. Спектроскопи-  
ческие характеристики ассоциации соединений  
типа  $AlR_3$  и  $AlR_2Cl$

Дк., 1961, 36105

10

V 3882; BP-H28-2

1962



Onishi T., Nakagawa T., Shimanouchi T.

O Internat. sympos. molec. struct. and  
spectrosc. Tokyo, 1962, A310/1-A310/4

Normal vibrations of organo-aluminum  
compounds

J

orig.

PX., 1963, 235106

Collegium Al

B9-5808-V

1963

The infrared spectra of trimethyl aluminum, dimethyl aluminum chloride, methyl aluminum dichloride, methyl titanium trichloride, dimethyl titanium dichloride, and some deuterium derivatives. A. P. Gray (Du Pont Ltd., Kingston). *Can. J. Chem.*, 41, 1511-21(1963). The vapor-phase infrared spectra to 300 cm.<sup>-1</sup> are discussed and assignments made for  $\text{Me}_6\text{Al}_2$ ,  $(\text{CD}_3)_6\text{Al}_2$ ,  $\text{Me}_3\text{Al}_2\text{Cl}_2$ ,  $(\text{CD}_3)_4\text{Al}_2\text{Cl}_2$ ,  $\text{Me}_2\text{Al}_2\text{Cl}_4$ ,  $\text{MeTiCl}_3$ ,  $\text{CD}_3\text{TiCl}_3$ , and  $\text{Me}_2\text{TiCl}_2$ . The assignments differ significantly from those previously published, but are consistent throughout the series of Al compds. and with related spectra. The data are in agreement with a bridged structure for  $\text{AlMe}_3$  of  $D_{2h}$  or  $C_{2h}$  symmetry and with a bridged structure of  $\text{Me}_2\text{AlCl}$  with Cl bridging. The dimer  $\text{Me}_2\text{Al}_2\text{Cl}_4$  exists in the trans configuration. An impurity is commonly found in spectra of  $\text{Me}_2\text{AlCl}$  which is identified as the mixed dimer  $\text{Me}_3\text{Al}_2\text{Cl}_3$ . Anomalies observed in the spectra of the Me-Ti compds. are discussed. RCCM

c.A.1963.59.1

134f

1964

V 3883

$\text{Al}_2\text{Cl}_6$ ,  $\text{Al}_2(\text{CH}_3)_6$ ,  $\text{Al}_2(\text{CH}_3)_4\text{Cl}_2$  (V; un.nat.)

Onishi T., Shimanouchi T.

Spectrochim.acta, 1964, 20, N 3, 325-  
338

Normal vibrations of dimers of aluminium  
trichloride, trimethyl aluminum and  
dimethyl aluminum chloride

PF., 1966, 5D312

J

*1964*  
 $\text{CH}_3\text{Br} : \text{AlBr}_3$

6 Д294. Спектры комбинационного рассеяния соединений бромида алюминия с бромоформом и бромистым этилом. Rice Bergnard, Bald Kenneth C. Raman spectra of the aluminum bromide addition compounds in methyl bromide and in ethyl bromide. «Spectrochim. acta», 1964, 20, № 4, 721—727 (англ.)

$\text{C}_2\text{H}_5\text{Br} : \text{AlBr}_3$

Получены спектры комб. рас. растворов бромида алюминия (I) в циклогексане и определены частоты колебаний димера  $\text{Al}_2\text{Br}_6$ . В спектрах растворов I в  $\text{CH}_3\text{Br}$  (II) и  $\text{C}_2\text{H}_5\text{Br}$  (III) обнаружены новые частоты, которые приписаны соединением  $\text{CH}_3\text{Br} : \text{AlBr}_3$  (IV) и  $\text{C}_2\text{H}_5\text{Br} : \text{AlBr}_3$  (V). Наблюдалось уменьшение частот в IV и V по сравнению с II и III, причем в случае IV это уменьшение составляет 6,9%, а в случае V — 9,5%, что следует отне-

ф. 1966. 67

Физ. 10

539.293

Harrop P. J.

Intrinsic electrical conductivity in alumina.

Brit. J. Appl. Phys., 1965, 16, N 5, 729—730.

Собственная электропроводность окиси алюминия.

Б. Никитин  
1956, 78, 2185) о6 yбejiнneHHи noяapHOCTи 3TOи CBa3и.  
Tpi (Jungk H., Smoot C., Brown H. «J. Amer. Chem. Soc.»,  
CBa3и C—Br. 3To HaXoJиTCи B COJiaCиHи C BpBOJиOM Pa6o.  
ctи B oчOBHOм 3a cHeT CHиNKEHHиA cHиOBPiX noCTOaHHиB  
10c

ВГБИЛ

1966

$(\text{CH}_3)_3\text{AlCl}$  Gray sp

Can. J. Chem. 41, 1511-21(1963)

•  $\text{CH}(\text{CH}_3)_3\text{AlCl}$

139-5459-1

1966

VI; complexe ( $\text{AlCl}_3 \cdot (\text{CH}_3)_2\text{O}$ ,  
 $\text{AlCl}_3 \cdot \text{CH}_3\text{NO}_2$ )

5459

Jones D.G.H., Wood J.L.

J. Chem. Soc., 1966, 4, n° 10, 1448-1453/ang  
The spectra and structure of aluminium chloride complexes.

Bugges, 1967, 43316

W

$\text{Al}_2\text{Cl}_2(\text{C}_2\text{H}_5)_4$

kato Hiroshi et gp.

1966

Bull. Chem. Soc. Japan  
39, N<sup>o</sup> 1377

Физико-химическое строение  
иодидов, хлорогалогенидов и  
акцииов бора и  $\text{Al}_2$ .

et al.  $\text{B}_2\text{H}_6$

$(\text{CH}_3)_2\text{AlF}$

11-6132

15 В192. Колебательные спектры диметил- и диэтилалюминийфторида. Weidlein J., Krieg V. Die Schwingungsspektren von Dimethyl- und Diethylaluminiumfluorid. «J. Organometallic Chem.», 1968, 11, № 1, 9—16 (нем.; рез. англ.)

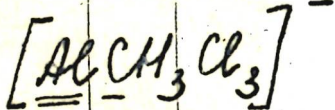
1968

Исследованы ИК- и КР-спектры диметил- и диэтилалюминийфторида в диапазоне 3000—140  $\text{cm}^{-1}$ . Табулированы частоты полос в спектрах обоих соединений, их интенсивности, поляризация (для КР-спектров) и отнесение к типам колебаний. Молекулы обоих исследованных в в тетрамерны. Анализ числа и интенсивности полос в области вал. кол. группировки  $\text{AlC}_2$  показывает, что обе молекулы имеют плоское восьмичленное кольцо (симметрия  $D_{4h}$ ). Полосы колебаний скелета отнесены следующим образом (последовательно для диметил- и диэтилалюминийфторида): асим. вал. кол.  $\text{AlC}_2$  726,680 (ИК-) 717,668 (КР-), сим. вал. кол.  $\text{AlC}_2$  560,552 (ИК-) 599,565 (КР-), сим. и асим. вал. кол.  $\text{AlF}_2$  638—614,872 (ИК-), пульсирующее кол. кольца  $\text{Al}_4\text{F}_4$  —, 835 (ИК-), —, 822 (КР-).

Ю. В. Киссин

Х. 1968.15

(и. -  $(\text{CH}_3)_2\text{AlF}$



1970

Д491. ИК-спектры и спектры комбинационного рас-  
сения метилтрихлоралюминатного комплекса натрия.  
Kawai Kiyo Yasu, Kaneko Isao, Ichimura,  
Fumio. Infrared and Raman spectra of sodium methyl-  
trichloroaluminate complex. «Spectrochim. acta», 1970, A26,  
№ 3, 593—597 (амер.)

ИК-спектр,  
спектр КР,  
спектр пост.

Получены и расшифрованы ИК-спектры (4000—  
250 см<sup>-1</sup>; твердая фаза) и спектры комб. рас. (расплав  
при 150° С) комплекса Na[AlCH<sub>3</sub>Cl<sub>3</sub>]. Для норм. колеба-  
ний комплексного аниона рассчитаны силовые постоян-  
ные. Показано, что при переходе от AlCH<sub>3</sub>Cl<sub>2</sub> к рассмат-  
риваемому соединению полярность связи Al—Cl увели-  
чивается. Библ. 13.

Л. В. Коновалов

9.1970.88

Al(II)-C-H-O-Hal 1970

Hal = F

(S.P.)

137670z Mass spectral studies of metal chelates. V. Mass spectra and appearance potentials of some fluorine-substituted acetylacetones. Reichert, C.; Bancroft, George M.; Westmore, John B. (Dép. Chem., Univ. Manitoba, Winnipeg, Manitoba). *Can. J. Chem.* 1970, 48(9), 1362-70 (Eng). The mass spectra of the hexafluoroacetylacetones (hfacac) and trifluoroacetylacetones (tfacac) of Al(III), Cr(III), Fe(III), Fe(II), Cu(II), and Zn(II) are reported. The main features of the spectra are discussed. Compared with the spectra of the acetylacetones (acac), substitution of CF<sub>3</sub> for CH<sub>3</sub> in these complexes leads to more extensive fragmentation of the mol. ions. For example, ions corresponding to loss of •CF<sub>3</sub> radicals are more abundant than those corresponding to loss of •CH<sub>3</sub> radicals. The appearance potentials of the mol. ions and, where possible, of fragment ions formed from the mol. ion by loss of •CF<sub>3</sub>, •CH<sub>3</sub>, or ligand radicals are reported. The appearance potentials of the

C.A. 1970-72-26

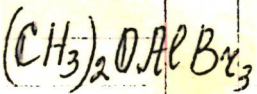
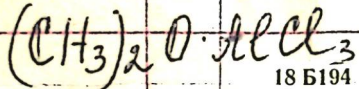
+4

✓

mol. ions are more sensitive to the nature of the ligand than to the metal. Thus, for the metal chelates studied here the appearance potentials of the mol. ions from  $ML_2$  and  $ML_3$  ( $L$  stands for ligand) were  $9.95 \pm 0.25$  V for  $L = hfacac$ ,  $9.05 \pm 0.35$  V for  $L = tfacac$ , and  $8.3 \pm 0.35$  V for  $L = acac$ . The energy required to dissociate a  $\cdot CF_3$  or  $\cdot CH_3$  radical from the mol. ion is sensitive to the nature and valency of the metal M, being low (relatively) for Al(III) and Fe(III), and high (relatively) for Cr(III) (inferred) and Fe(II). This variation is discussed in terms of the effect of substituent, and of interaction of metal  $d$  orbitals with the ligands.

RCCM

1971



18 Б194 Д. Исследование колебательных спектров координационных соединений состава 1:1 диметилового эфира с хлористым и бромистым алюминием. De Gaulle Jean. Étude des spectres de vibration des composés de coordination de stoechiométrie 1—1 de l'éther diméthylique avec le chlorure et le bromure d'aluminium. Thèse doct. sci. phys. Univ. Bordeaux, 1971. 100 p., ill. (франц.)

Изучены ИК-спектры и спектры КР комплексов  $(CH_3)_2O \cdot AlX_3$  и  $(CD_3)_2O \cdot AlX_3$ , где X=Cl, Br. Спектры сопоставлены с данными для свободных молекул донора и акцептора. Обсуждены изменения в спектре  $Me_2O$  при координации. Отмечено возрастание частот вал. кол. CH и снижение частот вал. кол. CO. Проведен расчет

Х 1975 № 18

нормальных колебаний фрагмента  $\text{OAI}_3$  и молекулы  $\text{Me}_2\text{O}$  в комплексе. Найдено, что силовой коэф. связи СН растет на ~5%, а связи СО — снижается на 20%. Для силового коэф. связи AlO получено значение 1,9 млн/А, близкое к силовым коэф. связей AlCl и AlBr. Расчет частот при различных значениях углов в комплексе показал, что величина угла ClAlCl лежит в пределах  $109^{\circ}28'$ — $113^{\circ}$ , угла BrAlBr  $113$ — $117^{\circ}$ , COAl  $109^{\circ}28'$ — $113^{\circ}30'$ . Исследование спектров р-ров в  $\text{CH}_2\text{Cl}_2$  при разных соотношениях компонент указывает на существование в р-ре, по крайней мере, 3 компонентов разного состава.

Б. В. Локшин

$(\text{CH}_3)_2\text{O}-\text{AlBr}_3$  (koog. coeg)

1972

Derouault J., "gp.

(c.h.) "J. Mol. Struct." 1972, 11,  
N 3, 423-38.

(cet.  $\text{AlCl}_4^-$ , II)

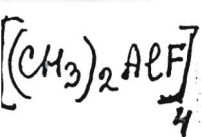
$(CH_3)_2O$ -AlCl<sub>3</sub> (koopg. coag).

1972

Deronault J., nsp.

(C.I.H.) "J. Mol. Street", 1972, 11,  
N3, 423-38.

(see: AlCl<sub>4</sub>, III)



1972

23 Б98. Молекулярная структура тетраметра фторида диметилалюминия, изученная методом электронографии. Gundersen Grete, Haugen Torgjørg, Haaland Arne. Molecular structure of dimethylaluminium fluoride tetramer by electron diffraction. «J. Chem. Soc. Chem. Commun», 1972, № 12, 708 (англ.)

Электро-  
нограф.

Методом газовой электронографии при т-ре 65° изучена структура молекулы  $(\text{Me}_2\text{AlF})_4$  (I). Установлено, что в условиях опыта конц-лия I в парах не меньше 95%. Найдено, что молекула обладает неплоской циклическим структурой типа «кресло—ванна» симметрии  $C_s$  с двумя атомами Al в плоскости зеркального отражения. Получены след. значения межъядерных расстояний (A) и углов: C—H 1,116 (13), Al—C 1,942 (6), Al—F 1,808 (4),  $\angle \text{CAIC}$  127 (3)°,  $\angle \text{FAIF}$  94 (2)°,  $\angle \text{AlFAI}$  148 (2)°.

В. Спиридонов

X-1972-23

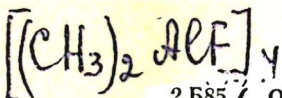
(CH<sub>3</sub>)<sub>2</sub>AlF

1973

D 71150r Molecular structure of dimethyaluminum fluoride tetramer, [(CH<sub>3</sub>)<sub>2</sub>AlF]<sub>4</sub>. Gundersen, G.; Haugen, T.; Haaland, Arne (Dep. Chem., Univ. Oslo, Oslo, Norway). *J. Organometal. Chem.* 1973, 54, 77-86 (Eng). (CH<sub>3</sub>)<sub>2</sub>AlF was studied by gas phase electron diffraction. The compd. is tetrameric under the exptl. conditions. The main mol. parameters are R(Al-C) 1.947 (4), R(Al-F) 1.810 (3) Å, <C-Al-C 131.2 (1.9)°, <F-Al-F 92.3 (1.2)° and <Al-F-Al 146.1 (2.6)° the Al<sub>4</sub>F<sub>4</sub> ring being puckered. The factors detg. the degree of assocn. of compds. of the type R<sub>2</sub>AlX (X = F, OR', NR<sub>2</sub>', Cl, SR' and PR<sub>2</sub>') are discussed, and it is suggested that Pitzer strain may be a significant factor in some cases.

C. A.  
1973  
79 N/2

1973



2 Б85. О молекулярной структуре тетрамера диметилалюминийфторида,  $[(\text{CH}_3)_2\text{AlF}]_4$ . Gundersen G., Haugen T., Haaland Agpe. On the molecular structure of dimethylaluminium fluoride tetramer,  $[(\text{CH}_3)_2\text{AlF}]_4$ . «J. Organometal. Chem.», 1973, 54, 77—86 (англ.)

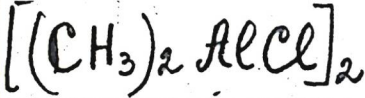
Методом газовой электронографии изучена структура молекулы  $[(\text{CH}_3)_2\text{AlF}]_4$ . Установлено, что атомы Al и F образуют неплоское восьмичлененное кольцо. Найдены след. значения основных молек. параметров:  $r(\text{Al}-\text{C}) = 1,947$  (4) Å,  $r(\text{Al}-\text{F}) = 1,810$  (3) Å,  $\text{CAIC}$  131,2 (1,9)°,  $\text{FAIF}$  92,3 (1,2)°,  $\text{AlFAI}$  146,1 (2,6)°. С привлечением литературных данных обсуждены проблемы полимеризации соединений типа  $\text{R}_2\text{AlX}$  ( $\text{X}+\text{F}$ ,  $\text{OR}'$ ,  $\text{NR}_2'$ ,  $\text{Cl}$ ,  $\text{SR}'$  и  $\text{PR}_2'$ ).  
B. Спиридонов

Синтез

x. 1974

N2

 ④ Ендову



# 45-4699

1974

21 Б70. Молекулярная структура димера хлорида диметилалюминия  $[(\text{CH}_3)_2\text{AlCl}]_2$ , повторно определенная методом газовой электронографии. Brendhau-  
gen Kristen, Haaland Arne, Novak David P.  
The molecular structure of dimethylaluminium chloride di-  
mer,  $[(\text{CH}_3)_2\text{AlCl}]_2$ , redetermined by gas phase electron  
diffraction. «Acta chem. scand.», 1974, A 28, № 1, 45—47  
(англ.)

Методом газовой электронографии повторно изучена молекула  $[(\text{CH}_3)_2\text{AlCl}]_2$  (I). Полученные данные согласуются со структурой симметрии  $D_{2h}$  типа димера хлорида алюминия с мостиковыми атомами Cl. Найдены след. значения межъядерных расстояний (Å) и углов: C—H 1,104(8), Al—C 1,935(4), Al—Cl 2,303(3), Al—Cl 109,5(1,1)°, CAIC 126,9 (0,8)°, ClAlCl 89,4(0,5)°, AlClAl 90,6(0,5)°.

B. Спиридонов

x. 1974. N 2.1

$\text{AlHCl}_2 \cdot \text{D}(\text{C}_2\text{H}_5)_2$  Поздкова 1974.

$\text{AlHBr}_2 \cdot \text{D}(\text{C}_2\text{H}_5)_2$  Василька Болкович.

Колебат.  
спектр

Автомагнитом. НС  
составление упрощен. спектров  
конфигурации хим. наук.  
„Спектроскопия неорг. об.  
химии. производств.  
изделия и боргогиографа  
автомагнитом“

60504.7263  
Ch,TC

Фомин. Спекр  
29864  
 $(\text{CH}_3)_2\text{AlX}_2$

1976

# 45-12811

$\sim \text{x} = \text{Cl}, \text{Br}, \text{I}$

Lappert Michael F., Pedley J.  
Brian, Sharp-Graham J., Guest Martyn F.  
Bonding studies of compounds of boron  
and elements of groups 3-5. Part 16.  
Ab initio SCFMO calculations and He(I)  
photoelectron spectra of halogen-bridged  
dimeric group 3 metal halides and  
methylmetal halides."J.Chem.Soc.Faraday  
Trans.", 1976, Part 2, 72, N 3, 539-551  
(англ.)

586 591

605 0613 РКН ВИНИТИ

$\text{CF}^{2+}$ ;  $\text{Al}_2\text{O}_3$

(3 Д643.) Изучение эффекта Яна—Теллера в  $\text{Cr}^{2+}$ :  
 $\text{Al}_2\text{O}_3$ . Bates C. A. Jahn-Teller study of  $\text{Cr}^{2+}$ :  $\text{Al}_2\text{O}_3$ .  
«J. Phys.», 1978, C11, № 16, 3447—3460 (англ.)

Проведен анализ результатов измерений термически детектируемого индуцированного электрическим полем ЭПР ионов  $\text{Cr}^{2+}$  в диамагн. матрице  $\text{Al}_2\text{O}_3$ . Наблюденные спектры при направлении поля  $H$  вдоль оси с обусловлены переходами в возбужденном триплетном состоянии  $S'=1$ . Эти результаты сопоставлены также с ранее доложенными данными измерений акустического парамагн. резонанса. Анализ эксперим. данных проводился с помощью ЭВМ. Показано, что изученная система хорошо описывается в рамках многомодовой модели эффекта Яна—Теллера, а не в кластерной модели. Определены коэф. преобразования Яна—Теллера,  $q$  и  $r$ , связанные с операторами симметрии  $A_2$  и  $E$  соответственно в кубич. поле:  $q=0,306$  и  $r\simeq(0,2-0,3)$ . Коэф.  $r=0,70$ . Предложенная модель правильно предсказывает наличие линии ЭПР, не использованной при анализе эксперим. данных, и хорошо согласуется с результатами ранее проведенных измерений теплопроводности и кросс-спин-решеточной релаксации. Библ. 35.

Т. К. П.

Зарисовка  
Яна—Теллера

Ф. 1979/13

$\text{Al}_2(\text{CH}_3)_4\text{Cl}_2$

$\text{Al}_2(\text{CH}_3)_6$

Kossmann.

Isopropylidene  
hexamethylbenzene

1978

Venkateswarlu K.  
et al.

Bull. Cl. Sci. Acad.  
Roy. Belg., 1978, 64  
(3), 562-587.

1979

*Al-C-F*  
*(coequal)*

*Complexes  
 2nd. Report*

91: 9745h The structure of tris(1,1,1,5,5-hexafluoro-2,4-pentanedionato)aluminum(III) determined by gas-phase electron diffraction. Morris, M. L.; Hilderbrandt, R. L. (Dep. Chem., North Dakota State Univ., Fargo, ND 58102 USA). *J. Mol. Struct.*, 1979, 53(1), 69-80 (Eng). The  $r_g$  structure of tris(1,1,1,5,5-hexafluoroacetylacetonato)aluminum(III) was detd. by gas phase electron diffraction. The exptl. data are consistent with a  $D_3$  model in which the O atoms of the three ligands are arranged in a slightly distorted octahedron about the Al atom [ $\angle \text{OAI} = 87.2^\circ$  (1.4)]. The Al-O bond length [Al-O = 1.893(14) Å] is in excellent agreement with the value previously obtained by x-ray diffraction for the related acetylacetonato complex of Al [Al-O = 1.893(14) Å]. Structural parameters for the ligand [C-O = 1.277(11) Å, C-C<sub>ring</sub> = 1.412(14) Å, C-CF<sub>3</sub> = 1.561(11) Å, and C-F = 1.338(3) Å] are in

excellent agreement with the values obtained in an earlier electron diffraction study of the Cr(III) complex with hexafluoroacetylacetone. The resulting structure agrees quite well with the predictions based on a force law model for tris bidentate complexes developed by Kepert.

C.A. 1979, 91, 112

$C_2H_5AlCl_3$

1980

Боркагарев В.Н. и др.

масс-  
спектрометр.

Ж. общ. химии,  
1980, 50, N3, 586-91



$C_2H_5AlCl_3$  III

$(CH_3)_2 AlCl$

$(CH_3)_2 AlBr$

$(CH_3)_2 AlI$ .

characteristic  
complexes,  
measured DPP

[Commun 11087] 1981.

Hasegawa et al.

Chem. Phys. Lett.,  
1981, 77 (3), 618-22

ESR spectra and  
structure of...

$\text{ClAl}(\text{CH}_3)_2)_2$

1981

Xasakmep  
cbegu

95: 121436s Electrostatic molecular potential analysis of electron density distribution in dimers of chlorodimethyl-aluminum and aluminum chloride. Okninski, A.; Pasynkiewicz, S. (Inst. Org. Chem. Technol., Tech. Univ., 00-682 Warsaw, Pol.). *Adv. Mol. Relaxation Interact. Processes* 1981, 20(3), 121-30 (Eng). Electrostatic mol. potential approach (E. Scrocco and J. Tomasi, 1973) was used to det. reaction channels for  $(\text{ClAlMe}_2)_2$  and  $(\text{AlCl}_3)_2$ . The character of bonding and electron deficiency are also analyzed and discussed in terms of the frontier orbitals.

18

(41)

C. A. 1981, 95, N 14.

$[\text{ClAl}(\text{CH}_3)_2]_2$

1981

24 Б43. Анализ распределения электронной плотности в  $[\text{ClAl}(\text{CH}_3)_2]_2$  и  $(\text{AlCl}_3)_2$  методом электростатического молекулярного потенциала. Okniński A., Pasynkiewicz S. Electrostatic molecular potential analysis of electron density distribution in  $(\text{ClAlMe}_2)_2$  and  $(\text{AlCl}_3)_2$ . «Adv. Mol. Relax. and Interact. Process.», 1981, № 3, 121—130 (англ.)

Испечр.

№ 1

Методом электростатич. молек. потенциала (ЭМП) рассчитаны реакц. каналы молекул  $[\text{ClAl}(\text{CH}_3)_2]_2$  и  $(\text{AlCl}_3)_2$ . Расчеты выполнены методом ППДП/2 в базисе одиночленных ОСТ с учетом 3d-АО у атомов Al и Cl. Геометрич. параметры не варьировались, а были взяты из электронографич. эксперимента. Показано, что молекула  $[\text{ClAl}(\text{CH}_3)_2]_2$  обладает каналами для нуклеофильной атаки, расположенными в плоскости мостиковых атомов в направлении мостиковых атомов Cl, и каналами электрофильной атаки в терминальной

X.1981, 19, N24.

плоскости в направлении метильных групп. В молекуле  $(AlCl_3)_2$  найдено два типа каналов нуклеофильной атаки (в направлении различных атомов Cl) и два типа каналов электрофильной атаки в направлении мостиковых атомов Cl перпендикулярно мостиковым связям и вдоль молек. оси  $Cl_2$ . Благодаря наличию указанных электро- и нуклеофильных каналов во всех плоскостях симметрии молекула  $(AlCl_3)_2$  может быть легко поляризована. Отмечено, что метод ЭМП позволяет проводить обсуждение характера связей и распределения плотности в молекулах в терминах граничных орбиталей системы.

С. Долин

кут.

$(CH_3)_{6-n}Al_{2}Cl_n$  [Om. 25147]

1986

(n=2-6)  
u gp.

Rytter E, Kvistle S,

alk. cneophyl  
b. vanqu N21, 3796-3804.

YOK,  
and. noch.

$\text{CF}_4 \cdot n\text{AlF}_3$

$n = 1, 2$

1996

125: 205018h Electronic structure, geometry, and stability of organic cations, dicationics, and donor-acceptor complexes. Part 2. Polyhalomethane complexes with aluminum halides. Chistyakov, A. L.; Stankevich, I. V.; Akhrem, I. S.; Gambaryan, N. P.; Vol'pin, M. E. (Nesmeyanov, A. N., Institut Elementoorganicheskikh Soedinenii, Moscow, Russia 117813). *Izv. Akad. Nauk, Ser. Khim.* 1996, (3), 554-560 (Russ). The search of a local min. on the potential energy surface of the systems  $\text{CF}_4 \cdot n\text{AlF}_3$  ( $n = 1, 2$ ) and  $\text{CBr}_4 \cdot n\text{AlBr}_3$  ( $n = 1, 2, 4$ ) was carried out by AM1. The geometrical, electronic, and energetic characteristics of the complexes formed in these systems were detd. The ionic complexes  $\text{CBr}_3^+ \dots \text{AlBr}_4^-$ ,  $\text{CBr}_3^+ \dots \text{Al}_2\text{Br}_7^-$ ,  $\text{CBr}_2^{2+} \dots (\text{AlBr}_4^-)_2$ , and  $\text{CBr}_2^{2+} \dots (\text{Al}_2\text{Br}_7^-)_2$  can be formed in the  $\text{CBr}_4 \cdot n\text{AlBr}_3$  systems beside the donor-acceptor ones. In the cations and dicationics of the polyhalomethanes (Hal = Cl, Br, I), both free and bound in ionic complexes, the C atoms carry a neg. charge, the bonds C-Hal are considerably shortened, and the pos. charges are carried by 1-coordinated halo atoms, which differ considerably from the 2-coordinated halo atoms of the halonium salts. The max. pos. charge on the Br atoms amts. to 0.39 in the cationic and 0.66 and 0.94 in the dicationic complexes of the  $\text{CBr}_4 \cdot n\text{AlBr}_3$  systems. In the  $\text{CF}_4 \cdot n\text{AlF}_3$  systems there are donor-acceptor complexes only.

71 □

C.A. 1996, 125, N 16

$\text{CBr}_4 \cdot n\text{AlBr}_3$

CB<sub>2</sub>4·n Al<sub>2</sub>O<sub>3</sub>

1996

$\lambda = 1/2$

Chistyakov, A. I.;  
Stankovich, I. V. et al.,

mekanicheskaya, Izv. Akad. Nauk,  
ser. khim. 1996, (3), 554-  
560

(Cu·CF<sub>4</sub>·n Al<sub>2</sub>O<sub>3</sub>; III)